

Применение комплексно-значного метода анализа сингулярного спектра

Жорникова Полина Георгиевна, гр. 422

Санкт-Петербургский государственный университет
Математико-механический факультет
Кафедра статистического моделирования

Научный руководитель: к.ф.-м.н., доцент Голяндина Н.Э.
Рецензент: ассистент Шлемов А.Ю.



Санкт-Петербург
2016г.

Комплексный временной ряд $F_N = F_N^{(1)} + iF_N^{(2)}$, где $F_N^{(i)} = (f_1^{(i)}, \dots, f_N^{(i)})$, $i = 1, 2$, — вещественные.

Проблема: найти компоненты разложения $F_N = T_N + S_N + R_N$, где $T_N = T_N^{(1)} + iT_N^{(2)}$, $S_N = S_N^{(1)} + iS_N^{(2)}$, $R_N = R_N^{(1)} + iR_N^{(2)}$, $T_N^{(i)}$ — тренд, $S_N^{(i)}$ — периодика и $R_N^{(i)}$ — шум для ряда $F_N^{(i)}$.

Метод: SSA (Singular Spectrum Analysis) [Golyandina N., Nekrutkin V., Zhigljavsky A., 2001] — для вещественных рядов,

Complex SSA [Kerpenne C., Lall U., 1996] — для комплексных рядов.

Две задачи:

- Выделение периодики для вещественного и комплексного случаев.
- Применение метода Complex SSA: исследование и обоснование алгоритма выделения прямых линий с зашумленного изображения.

$F_N = F_N^{(1)} + iF_N^{(2)}$ — комплексный временной ряд.

- ❶ **Вложение:** $0 < L < N$ — длина окна, $K = N - L + 1$, ряд переводится в *траекторную матрицу* $\mathbf{X} = [X_1 : \dots : X_K]$, где $X_i = (f_i, \dots, f_{i+L-1})^T$.
- ❷ **Сингулярное разложение:** $\mathbf{X} = \mathbf{X}_1 + \dots + \mathbf{X}_d$, $\mathbf{X}_i = \mu_i U_i V_i^*$,
 μ_i — сингулярные числа,
 U_i — левые сингулярные вектора,
 V_i — правые сингулярные вектора.
- ❸ **Группировка:** матрицы \mathbf{X}_i группируются в три группы, соотв. тренду, периодике и шуму; внутри каждой группы матрицы суммируются.
- ❹ **Диагональное усреднение:** сгруппированные матрицы переводятся в ряды.

В результате получаем:

$$F_N = T_N + \textcolor{red}{S}_N + R_N,$$

где T_N — тренд, $\textcolor{red}{S}_N$ — периодика и R_N — шум.

Задача 1: Идентификация периодики для вещественного и комплексного случаев.

Разложение, которое ищем: $F_N = T_N + S_N + R_N$, $F_N \leftrightarrow \mathbf{X}$.

$$\mathbf{X} = \mathbf{X}_1 + \dots + \underbrace{(\mathbf{X}_k + \dots + \mathbf{X}_m)}_{\leftrightarrow S_N} + \dots + \mathbf{X}_d, \quad \mathbf{X}_i = \mu_i U_i V_i^*.$$

Вопрос: как найти группу матриц $\mathbf{X}_k, \dots, \mathbf{X}_m$, относящуюся к периодике?

Идентификация периодики происходит с помощью сингулярных чисел μ_i , **левых сингулярных векторов U_i** , правых сингулярных векторов V_i .

Периодика (обобщенная) описывается суммой экспоненциально-модулированных гармоник, задаваемых формулой:

- $A e^{\beta k} \cos(2\pi\omega k + \phi)$ — в вещественном случае,
- $A e^{\beta k} (\cos(2\pi\omega k + \phi) + iB \cos(2\pi\omega k + \psi))$ — в комплексном случае.

Задача: научиться идентифицировать вещественную и комплексную э.-м. гармоники.

P, Q – два вещественных вектора длины L . Два функционала:

$$\textcircled{1} \tau_1(P, Q) := \frac{1}{L-1} \sum_{k=1}^{L-1} (\theta_k - \bar{\theta})^2,$$

где θ_k – угол между $(p_k, q_k)^T$ и $(p_{k+1}, q_{k+1})^T$, $\bar{\theta} = \frac{1}{L-1} \sum_{k=1}^{L-1} \theta_k$;

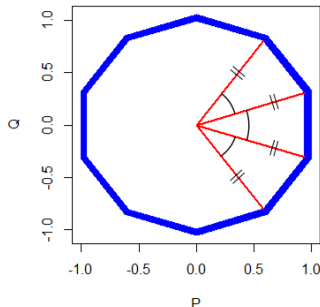
$$\textcircled{2} \tau_2(P, Q) := \frac{1}{L} \sum_{k=1}^L (x_k - \bar{x})^2,$$

где $x_k = (p_k)^2 + (q_k)^2$, $\bar{x} = \sum_{k=1}^L x_k / L$.

Свойства регулярности:

$$\textcircled{1} \tau_1(P, Q) = 0 \Leftrightarrow \text{углы между} \\ (p_k, q_k)^T \text{ и } (p_{k+1}, q_{k+1})^T \text{ равны.}$$

$$\textcircled{2} \tau_2(P, Q) = 0 \Leftrightarrow \text{точки } (p_k, q_k)^T \\ \text{лежат на окружности.}$$



Вещественная экспоненциально-модулированная гармоника S_N :

$$s_n = e^{\alpha n} A \cos(2\pi\omega n + \phi), \quad n = 1, \dots, N, \quad 0 < \omega < 0.5.$$

Сингулярное разложение траекторной матрицы: $\mathbf{S} = \mu_1 U_1 V_1^T + \mu_2 U_2 V_2^T$.

L — длина окна, U_1 и U_2 — вектора длины L .

$\tau_1(P, Q) = 0 \Leftrightarrow$ углы между $(p_k, q_k)^T$ и $(p_{k+1}, q_{k+1})^T$ равны.

$\tau_2(P, Q) = 0 \Leftrightarrow$ точки $(p_k, q_k)^T$ лежат на окружности.

Теорема

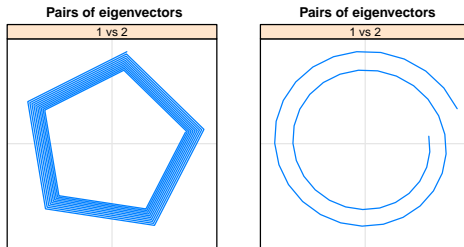
Для сингулярных векторов U_1 и U_2 , порождаемых рядом S_N , верны следующие утверждения.

- ❶ Если $\alpha = C/N$ и $L = [\beta N]$, где C — константа, $0 < \beta < 1$, то $\lim_{L \rightarrow \infty} \tau_1(U_1, U_2) = 0$.
- ❷ Если $\alpha = 0$ и $L = [\beta N]$, где $0 < \beta < 1$, то $\lim_{L \rightarrow \infty} \tau_1(U_1, U_2) = 0$ и $\lim_{L \rightarrow \infty} \tau_2(U_1, U_2) = 0$.
- ❸ Если $\alpha = 0$ и $L\omega$ — целое, то $\tau_1(U_1, U_2) = 0$ и $\tau_2(U_1, U_2) = 0$.

Вещественная э.-м. гармоника: $s_n = e^{\alpha n} A \cos(2\pi\omega n + \phi)$.

$$\mathbf{S} = \mu_1 U_1 V_1^T + \mu_2 U_2 V_2^T.$$

Если $\alpha = C/N$ и $L = [\beta N]$, где C — константа, $0 < \beta < 1$, то $\lim_{L \rightarrow \infty} \tau_1(U_1, U_2) = 0$.



(a) $\omega = 0.2$, $\alpha = 0.005$, $C = 0.495$, $\tau_1 = 1.3 \text{e-}05$. (b) $\omega = 0.04$, $\alpha = 0.009$, $C = 0.891$, $\tau_1 = 4.2 \text{e-}05$.

Рис.: Двумерные диаграммы с.в. вещ. э.-м. гармоник, $N = 99$, $L = 50$, $\beta = 0.5$.

Сингулярное разложение: $\mathbf{X} = \mu_1 U_1 V_1^T + \dots + \mu_d U_d V_d^T$,

U_1, \dots, U_d — левые сингулярные вектора.

τ — рассматриваемый функционал (τ_1 или τ_2).

- ❶ **Визуальная идентификация:** среди двумерных диаграмм векторов U_j и U_{j+1} ищутся те, где изображение обладает регулярным видом («спирали»).
- ❷ **Автоматическая идентификация:**
 - ❶ **число э.-м. гармоник известно:** отбираем пары U_j, U_{j+1} с минимальным значением функционала $\tau(U_j, U_{j+1})$;
 - ❷ **число э.-м. гармоник неизвестно:** отбираем пары U_j, U_{j+1} , у которых значение функционала $\tau(U_j, U_{j+1})$ меньше заданного порога.

Комплексная экспоненциально-модулированная гармоника:

$$s_n = e^{\alpha n} (A \cos(2\pi\omega n + \phi) + iB \cos(2\pi\omega n + \psi)), \quad n = 1, \dots, N, \quad 0 < \omega < 0.5.$$

Ранг ряда $d = 1$, если $A = B$ и $|\phi - \psi| \equiv \pi/2 \pmod{\pi}$, иначе $d = 2$.

В отличие от вещественного случая:

- Синг. разложение имеет одно ($d = 1$) или два ($d = 2$) слагаемых.
- С.в. определены неоднозначно, с точностью до *комплексного поворота*, т.е. умножения на $e^{i2\pi t}$, $0 \leq t < 1$.

Комплексная экспоненциально-модулированная гармоника:

$$s_n = e^{\alpha n} (A \cos(2\pi\omega n + \phi) + iB \cos(2\pi\omega n + \psi)), \quad n = 1, \dots, N, \quad 0 < \omega < 0.5.$$

Ранг ряда $d = 1$, если $A = B$ и $|\phi - \psi| \equiv \pi/2 \pmod{\pi}$, иначе $d = 2$.

В отличие от вещественного случая:

- Синг. разложение имеет одно ($d = 1$) или два ($d = 2$) слагаемых.
- С.в. определены неоднозначно, с точностью до *комплексного поворота*, т.е. умножения на $e^{i2\pi t}$, $0 \leq t < 1$.

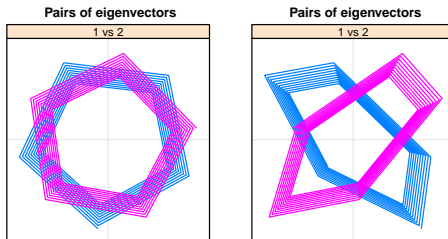


Рис.: Примеры двумерных диаграмм с.в. э.-м. комплексной гармоника, $N = 99$, $L = 50$, $\omega = 0.2$, $\alpha = 0.007$.

Комплексная экспоненциально-модулированная гармоника S_N :

$$s_n = e^{\alpha n} (A \cos(2\pi\omega n + \phi) + iB \cos(2\pi\omega n + \psi)), \quad n = 1, \dots, N, \quad 0 < \omega < 0.5.$$

В случае ранга $d = 2$: $\mathbf{S} = \mu_1 U_1 V_1^* + \mu_2 U_2 V_2^*$.

Теорема

Для с.в. U_1 и U_2 , порожденных рядом S_N с $d = 2$, верны след. утв-я.

- ❶ Если $\alpha = C/N$ и $L = [\beta N]$, где C — константа, $0 < \beta < 1$, то существует пос-ть $t = t_L$, принимающая значения в $[0, 0.5)$, такая что

$$\lim_{L \rightarrow \infty} (\tau_1(\operatorname{Re} U_1, \operatorname{Re} e^{i2\pi t} U_2) + \tau_1(\operatorname{Im} U_1, \operatorname{Im} e^{i2\pi t} U_2)) = 0.$$

- ❷ Если $\alpha = 0$ и $L = [\beta N]$, где $0 < \beta < 1$, то существует пос-ть $t = t_L$, принимающая значения в $[0, 0.5)$, такая что

$$\lim_{L \rightarrow \infty} (\tau_k(\operatorname{Re} U_1, \operatorname{Re} e^{i2\pi t} U_2) + \tau_k(\operatorname{Im} U_1, \operatorname{Im} e^{i2\pi t} U_2)) = 0, \quad k = 1, 2.$$

- ❸ Если $\alpha = 0$ и $L\omega$ — целое, то существует $0 \leq t < 0.5$, такое что

$$\tau_k(\operatorname{Re} U_1, \operatorname{Re} e^{i2\pi t} U_2) + \tau_k(\operatorname{Im} U_1, \operatorname{Im} e^{i2\pi t} U_2) = 0, \quad k = 1, 2.$$

Комплексная э.-м. гармоника: $e^{\alpha n}(A \cos(2\pi\omega n + \phi) + iB \cos(2\pi\omega n + \psi))$.

$$\mathbf{S} = \mu_1 U_1 V_1^* + \mu_2 U_2 V_2^*.$$

Идентификация: фиксируем U_1 , для U_2 ищем поворот $2\pi t$, $0 \leq t < 0.5$, решая оптимизационную задачу:

$$\tau_k(\operatorname{Re} U_1, \operatorname{Re} e^{i2\pi t} U_2) + \tau_k(\operatorname{Im} U_1, \operatorname{Im} e^{i2\pi t} U_2) \longrightarrow \min_t, \quad k = 1 \text{ или } 2.$$

Комплексная э.-м. гармоника: $e^{\alpha n}(A \cos(2\pi\omega n + \phi) + iB \cos(2\pi\omega n + \psi))$.

$$\mathbf{S} = \mu_1 U_1 V_1^* + \mu_2 U_2 V_2^*.$$

Идентификация: фиксируем U_1 , для U_2 ищем поворот $2\pi t$, $0 \leq t < 0.5$, решая оптимизационную задачу:

$$\tau_k(\operatorname{Re} U_1, \operatorname{Re} e^{i2\pi t} U_2) + \tau_k(\operatorname{Im} U_1, \operatorname{Im} e^{i2\pi t} U_2) \longrightarrow \min_t, \quad k = 1 \text{ или } 2.$$

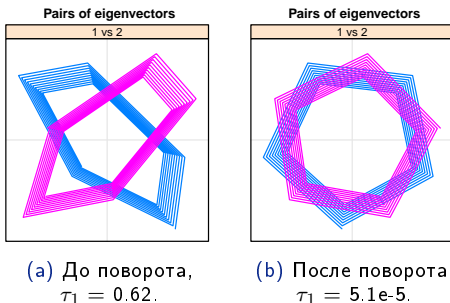


Рис.: Двумерные диаграммы с.в. э.-м. комплексной гармоника, $N = 99$, $L = 50$, $\omega = 0.2$, $\alpha = 0.007$.

Сингулярное разложение: $\mathbf{X} = \mu_1 U_1 V_1^* + \dots + \mu_d U_d V_d^*$,

U_1, \dots, U_d — левые сингулярные вектора.

Идентификация э.-м. гармоник с рангом $d = 2$.

- ① Для пары (U_i, U_j) , $i < j$, решается оптимизационная задача

$$\tau_k(\operatorname{Re} U_i, \operatorname{Re} e^{i2\pi t} U_j) + \tau_k(\operatorname{Im} U_i, \operatorname{Im} e^{i2\pi t} U_j) \longrightarrow \min_t, \quad k = 1 \text{ или } 2.$$

На $t_{i,j}$ достигается минимум, $\tau_{i,j}$ — минимальное значение.

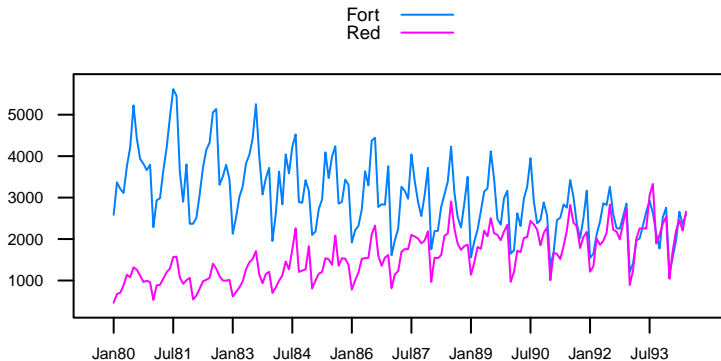
- ② **Визуальная идентификация:** среди двумерных диаграмм вещественных и мнимых частей U_i и $e^{i2\pi t_{i,j}} U_j$ ищутся те, где изображение обладает регулярным видом («спирали»).

- ③ **Автоматическая идентификация:**

- ① **число э.-м. гармоник известно:** отбираем пары $(U_i, e^{i2\pi t_{i,j}} U_j)$ с минимальными значениями функционала $\tau_{i,j}$.
- ② **число э.-м. гармоник неизвестно:** отбираем пары $(U_i, e^{i2\pi t_{i,j}} U_j)$, у которых значение функционала $\tau_{i,j}$ меньше заданного порога;

Для случая $d = 1$ рассматривается $\tau_k(\operatorname{Re} U_1, \operatorname{Im} U_1)$.

Два ряда ежемесячных продаж крепленого (Fort) и красного (Red) вина в Австралии в тысячах литров в период с января 1980 года по июнь 1994 года.



Рассматриваем ряд $\text{Fort} + i\text{Red}$.

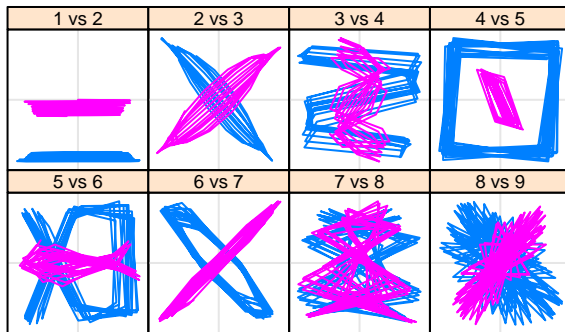


Рис.: Двумерная диаграмма исходных сингулярных векторов для ряда Fort+iRed.

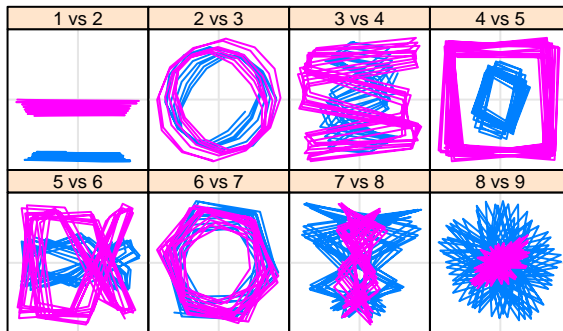


Рис.: Двумерная диаграмма сингулярных векторов для ряда Fort+iRed после работы алгоритма с τ_1 .

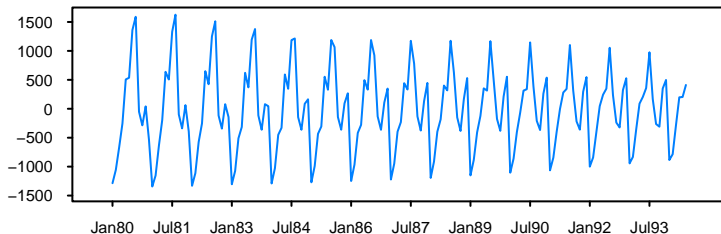


Рис.: Обобщенная периодическая компонента ряда Fort.

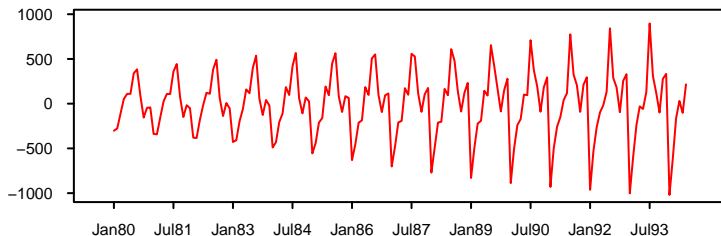


Рис.: Обобщенная периодическая компонента ряда Red.

Задача 2: Применение метода Complex SSA.

Пусть наблюдаем матрицу \mathbf{X} размера $N_t \times N_c$:

$$\mathbf{X} = \mathbf{S} + \mathbf{R},$$

где \mathbf{S} — сигнал: матрица из «0» и «1», все «1» образуют прямые линии;
 $\mathbf{R} = \{\varepsilon_{ij}\}_{i,j}^{N_t, N_c}$ — шум, $\varepsilon_{ij} \sim N(0, \sigma^2)$.

Простейший пример матрицы \mathbf{S} :

$$\begin{array}{ccccccc} 0 & \mathbf{1} & 0 & 0 & 0 & 0 & 0 \\ 0 & 0 & \mathbf{1} & 0 & 0 & 0 & 0 \\ 0 & 0 & 0 & \mathbf{1} & 0 & 0 & 0 \\ 0 & 0 & 0 & 0 & \mathbf{1} & 0 & 0 \end{array}$$

Проблема: по матрице \mathbf{X} оценить сигнал \mathbf{S} (выделить прямые).

Метод: Алгоритм [Trickett, 2003].

Задача: доказать корректность алгоритма, рассмотреть несколько его модификаций и выделить лучший вариант алгоритма.

Вход: матрица \mathbf{X} , система из N_c временных рядов длины N_t :

$$\mathbf{X} = \{x_{ct} = x_c(t) \mid c = 1, \dots, N_c, t = 1, \dots, N_t\}.$$

- ① **Дискретное преобразование Фурье (DFT)** для каждого ряда (для каждой строчки матрицы \mathbf{X}). Результат — матрица Ξ .

$$\text{DFT для ряда } (0, \dots, \underbrace{1}_m, \dots, 0): \quad (y_0, \dots, y_{N-1}), \quad y_k = e^{\frac{-2\pi i}{N} km}.$$

$$e^{\frac{-2\pi i}{N} km} = \sin\left(\frac{-2\pi}{N} km\right) + i \cos\left(\frac{-2\pi}{N} km\right) - \text{компл. гармоника!}$$

- ② **Метод Complex SSA** одним из двух способов:

- ① для каждого столбца матрицы Ξ (**COL₁**),
- ② для каждой строчки матрицы Ξ (**ROW₁**).

Выбираем длину окна L , идентифицируем M компонент, относящихся к сигналу, и получаем матрицу $\Xi^{(1)}(k)$.

- ③ **Обратное преобразование Фурье** одним из двух способов:

- ① для каждого столбца матрицы $\Xi^{(1)}$ (**COL₂**),
- ② для каждой строчки матрицы $\Xi^{(1)}$ (**ROW₂**).

Результат: матрица $\mathbf{X}^{(1)}$.

Итоговый результат: $\mathbf{X}^{(1)} = \{x_c^{(1)}(t) \mid c = 1, \dots, N_c, t = 1, \dots, N_t\}.$

Вывод из сравнения 4 вариантов: алгоритм **COL₁-ROW₂** — лучший.

Пусть сигнал **S** состоит из m прямых с уравнениями $c = a_j t + b_j$, $j = 1, \dots, m$, и с некоторыми условиями на a_j и b_j .

$\Xi = \{\xi_t(c)\}_{t=1, c=1}^{N_t, N_c}$ — результат первого этапа DFT, примененного к **S**.

Тогда $\xi_t(c) = \sum_{j=1}^m e^{-2\pi i \frac{(t-1)(c/a_j - 1 - b_j/a_j)}{N_t}}$, $c = 1, \dots, N_c$, является суммой комплексных гармоник!

$\mathbf{X} = \mathbf{S} + \mathbf{R}$, $\mathbf{R} = \{\varepsilon_{ij}\}_{i,j}^{N_t, N_c}$, $\varepsilon_{ij} \sim N(0, \sigma^2)$.

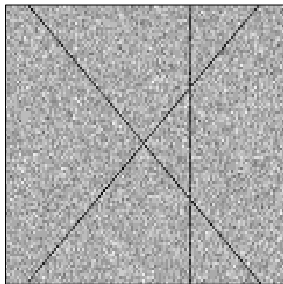
Выделение m прямых из матрицы **X:** на втором этапе Complex SSA восстанавливаем сигнал на основе первых m сингулярных векторов.

$$\mathbf{X} = \mathbf{S} + \mathbf{R};$$

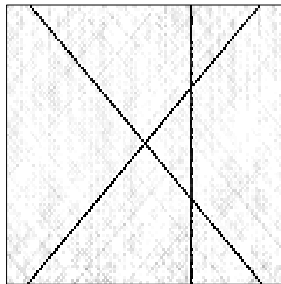
\mathbf{S} — сигнал из трех прямых с уравнениями $c = t + 10$, $c = 110 - t$ и $c = 70$;

$$\mathbf{R} = \{\varepsilon_{ij}\}_{i,j}^{N_t, N_c}, \varepsilon_{ij} \sim N(0, \sigma^2).$$

$$N_c = 100, N_t = 120, \sigma = 0.2.$$



(a) Исходное изображение.



(b) Выделенный сигнал.

Рис.: Пример с тремя линиями и шумом до и после работы алгоритма.

- Построены и обоснованы алгоритмы идентификации периодики для вещественных и комплексных рядов. Предложено два варианта идентификации: визуальная и автоматическая.
- Проведено численное сравнение вариантов алгоритма с разными функционалами.
- Исследован алгоритм Трикетта выделения прямых линий из зашумленного изображения и три аналогичные модификации алгоритма.
- Показано, что вариант, предложенный Трикеттом, при некоторых не очень ограничивающих условиях является лучшим, эффективно и корректно работающим для любого количества линий.
- Проиллюстрированы примеры работы алгоритмов идентификации и алгоритмов выделения прямых линий.
- Алгоритмы идентификации и алгоритмы выделения прямых линий реализованы на языке программирования R с использованием пакетов `RSSA` и `LATTICE`.